

# PROJETO DE UM MÓDULO DE HARDWARE PARA OTIMIZAÇÃO DA REPRESENTAÇÃO E DESCRIÇÃO DE IMAGENS SEGMENTADAS ATRAVÉS DA MORFOLOGIA MATEMÁTICA EM SISTEMAS EMBARCADOS

Luiz Antonio de Oliveira Júnior<sup>1</sup>; Edna Natividade da Silva Barros<sup>2</sup>

<sup>1</sup>Estudante do Curso de Engenharia da Computação - CIn – UFPE; E-mail: laoj2@cin.ufpe.br,

<sup>2</sup>Docente/pesquisador do Centro de Informática – CIn – UFPE. E-mail: ensb@cin.ufpe.br .

**Sumário:** A maioria dos algoritmos de morfologia matemática pode ser resolvida em processadores de propósito geral, tipicamente usando o *Matlab* (MATLAB, 2010) ou o *OpenCV* (OPENCV, 2014). Porém, quando os sistemas possuem restrições de tempo, de memória de eficiência energética, essa abordagem nem sempre é eficiente. Este projeto, portanto, objetiva otimizar a performance dos algoritmos tradicionais de morfologia matemática, fornecendo alta vazão de pixels e pequena ocupação de área da *FPGA*, através de uma implementação em *System Verilog* que possa ser validada e aplicada em contextos reais e práticos em sistemas de tempo real embarcados. A solução utilizando a biblioteca *OpenCV* apresentou até 301% ciclos de *clock* a mais que a solução proposta em *FPGA*. Adicionalmente, os módulos implementados ocupam apenas 245 elementos lógicos, o que corresponde a menos que 1% da área da *FPGA Cyclone IV*.

**Palavras-chave:** *FPGA*; processamento de imagens; sistemas embarcados; morfologia matemática; visão computacional

## INTRODUÇÃO

A crescente necessidade de inspeção e análise minuciosas das informações visuais nas mais diversas áreas de conhecimento alavancou o desenvolvimento de sistemas que utilizam processamento de imagens, já que a velocidade com que essas informações chegam ao olho humano e o grande volume de dados são incompatíveis para a capacidade de processamento do cérebro humano.

Nesse contexto, surgiu uma grande quantidade de algoritmos de processamento de imagens. Mas, por causa da constante manipulação de matrizes, esses algoritmos tendem a ter um custo computacional não-linear, como, por exemplo, os algoritmos de morfologia matemática.

A morfologia matemática, desenvolvida em 1960 por Georges Matheron e Jean Serra (SERRA, 1982), descreve um conjunto de técnicas de processamento de imagem baseado na extração de características que são úteis para representar e descrever a forma - geometria e topologia - das entidades desconhecidas de uma imagem a partir da teoria dos conjuntos.

A maioria dos algoritmos de morfologia matemática pode ser resolvida em processadores de propósito geral, tipicamente usando o *Matlab* ou o *OpenCV*. Porém, quando os sistemas possuem restrições de tempo, de memória de eficiência energética, essa abordagem nem sempre é eficiente. Adicionalmente, o *Matlab* e o *OpenCV* não são portáteis de forma simples para as diferentes arquiteturas encontradas em sistemas embarcados.

Este projeto, portanto, objetiva otimizar a performance dos algoritmos tradicionais de morfologia matemática, fornecendo alta vazão de pixels, típica exigência de sistemas de tempo real, através de uma implementação em *SystemVerilog* que possa ser validada e aplicada em contextos reais e práticos.

Existem alguns trabalhos na literatura que realizaram a implementação de operações morfológicas em sistemas embarcados.

O sistema desenvolvido em (TICKLE, et al., 2013) implementa as operações de morfologia matemática a partir de blocos *DSP Builds* da ferramenta de desenvolvimento *Simulink*, do *Matlab*. Apesar da simplicidade de implementação, as operações só podem ser executadas na *FPGA* no processador *Nios*. A análise temporal da solução é feita somente no *Simulink*.

Na técnica apresentada em (HENTATI et al., 2014), as operações morfológicas de erosão e dilatação foram desenvolvidas utilizando a técnica *DPR (Dynamic and Partial Reconfiguration)*. Porém, a *Xilinx* era, até a publicação deste resumo, a única fornecedora de *FPGA* que oferecia suporte a *DPR*. Em (GENOVESE, et. al, 2013), as unidades de morfologia matemática implementadas em *FPGA* apresentam alto valor de frames por segundo. Em contrapartida, há uma grande ocupação de área da *FPGA*. Na proposta apresentada em (BAUMANN, et. al, 2005), foi implementada uma biblioteca em *VHDL* de operações de morfologia matemática. Porém, as imagens de teste têm dimensões 160x120 e os módulos ocupam boa parte da área da *FPGA*.

## MATERIAIS E MÉTODOS

Em *FPGA*, imagens geralmente são um conjunto de sinais seriais e discretos que são obtidos a partir de uma câmera digital. Portanto, na abordagem em *FPGA*, há a movimentação da imagem (e não do elemento estruturante, como na abordagem em software) de modo que, pela própria natureza da fonte de dados (uma câmera), o elemento estruturante estará centrado em um novo pixel a cada ciclo de *clock* com uma estrutura aproximadamente linear.

Nessa perspectiva, seja  $\mathcal{S}$  um elemento estruturante de dimensões  $N \times N$  e  $\mathcal{A}$  uma imagem binária de dimensões  $P \times Q$ . Para que a abordagem em *FPGA* funcione corretamente, é necessário armazenar  $\text{ceiling}\left(\frac{N}{2}\right) * Q$  pixels da imagem de entrada antes de realizar qualquer operação, onde  $\text{ceiling}(x)$  é a função teto, para que o elemento estruturante esteja posicionado corretamente (com o seu pixel central sobreposto ao primeiro pixel da imagem) na imagem. Portanto, a vazão de pixels na saída terá uma latência inicial de  $\text{ceiling}\left(\frac{N}{2}\right) * Q$  pixels. Em seguida, os pixels de saída serão fornecidos um a um sem interrupções.

Adicionalmente, como as operações morfológicas envolvem todos os pixel na fronteira delimitada pela forma do elemento estruturante, é necessário que o sistema também tenha acesso a linhas anteriores e posteriores da imagem analisada que façam parte da fronteira.

Portanto, neste trabalho foram desenvolvidos três módulos principais: um buffer de linha (baseado em registradores de deslocamento), um módulo de erosão e um módulo de dilatação (os módulos de abertura e fechamento foram implementados a partir da associação em cascata dos módulos supracitados). A arquitetura do módulo de dilatação é ilustrada na figura 1.

Todos os módulos supracitados foram desenvolvidos na linguagem *System Verilog*, foram sintetizados com o software *Quartus II Web Edition*, versão 13.1 e foram testados na placa de prototipação *DE2i-150*, da fabricante *Terasic*, que possui uma *FPGA Cyclone IV GX* e um processador *Intel Atom (N2600)*. A câmera digital *TRDB-D5M*, da fabricante *Terasic*, foi acoplada à placa de prototipação. Os módulos de dilatação e erosão possuem 280 linhas de código, cada. A fim de validar os módulos desenvolvidos em hardware, foram desenvolvidos e executados dois *testbenches* com o programa *ModelSim Student Edition*.

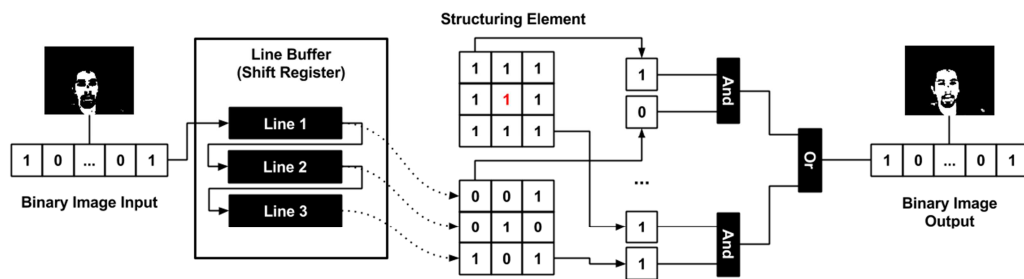


Figura 1 – Arquitetura do módulo da operação morfológica Dilatação

A medição das soluções em software foi realizada utilizando as funções *dilate* e *erode* do *OpenCV* versão 2.4, no processador *Intel Atom (N2600)*, no sistema operacional *Windows 7*, a partir das funções da biblioteca *time.h*, que é padrão de *C*. Para realizar a medição de tempo de execução das soluções em *FPGA*, foi utilizada a fórmula descrita a seguir. Seja  $\mathcal{A}$  uma imagem de dimensões  $P \times Q$ , seja  $\mathcal{S}$  um elemento estruturante de dimensões  $N \times N$ , seja  $L = \text{ceiling}\left(\frac{N}{2}\right) * Q$  a latência inicial em pulsos de *clock* e seja  $f$  a frequência de operação da *FPGA*, o tempo total para execução das operações é dado por:  $T_{simples} = (L + N * M) * f$ .

## RESULTADOS

As tabelas 1 e 2 mostram os resultados dos testes de desempenho realizados em ambas abordagens, software e hardware, considerando um cenário com 30 imagens de 8MP.

Tabela 1 – Resultados das simulações, em ciclos de *clock*, para a erosão e o fechamento.

Arquitetura	Erosão (Média)	Erosão (Desvio Padrão)	Fechamento (Média)	Fechamento (Desvio Padrão)
Atom (OpenCV)	75.200.000	1.118.400	153.883.000	2.447.120
FPGA	24.883.200	0	49.766.400	0

Tabela 2 – Resultados das simulações, em tempo de execução, para a fechamento e erosão.

Arquitetura	Erosão (Média)	Erosão (Desvio Padrão)	Fechamento (Média)	Fechamento (Desvio Padrão)
Atom(OpenCV)	0.047s	0.000699s	0.096176s	0.001529s
FPGA (50 MHz)	0.497664s	0s	0.497664s	0s
FPGA (1.5GHz)	0.016589s	0s	0.016589s	0s

## DISCUSSÃO

Os resultados indicam que as funções do *OpenCV* utilizam, aproximadamente, 301% a mais de ciclos para realizar as operações de morfologia matemática, do que a solução desenvolvida em *FPGA*.

Os resultados da análise temporal indicam que a vantagem da solução, em tempo de execução, em relação à aplicação desenvolvida em *OpenCV* está em função da frequência de *clock*. Portanto, caso a aplicação seja executada em uma *FPGA* que atinja uma frequência próxima à frequência do processador *Atom*, como a *FPGA SPD60*, da fabricante *Achronix* (ACHRONIX, 2015), que consegue atingir até 1.5GHz, a melhoria obtida em relação a solução em *OpenCV* seria de até 291%.

Adicionalmente, cada módulo, individualmente, utiliza 245 elementos lógicos, o que corresponde a menos que 1% dos elementos disponibilizados pela *Cyclone IV*.

### CONCLUSÕES

Operações de morfologia matemática são amplamente utilizadas em aplicações de visão computacional e reconhecimento de padrões, áreas que estão em constante crescimento e que, ultimamente, estão sendo cada vez mais requeridas em aplicações com sistemas embarcados. Então, a utilização da solução desenvolvida nesse projeto, que é capaz de prover uma melhora no desempenho de até 291% em relação a implementações clássicas em software, que possui baixo custo, ocupa pequena área e consome menos energia, características de sistemas que utilizam *FPGA*, é altamente viável.

A solução desenvolvida conseguiu ser bastante eficiente, com uma vazão de um pixel por pulso de *clock* (mesma vazão da câmera *TRDB-D5M* utilizada), o que permite sua aplicação, inclusive, em sistemas de tempo real, que possuem restrições de tempo e memória.

### AGRADECIMENTOS

Gostaria de agradecer a Deus, à minha orientadora Edna Barros pela oportunidade de crescimento profissional e intelectual, ao PIBIC/CNPq e aos meus familiares.

### REFERÊNCIAS

ACHRONIX, Speedster FPGA Family. Disponível em <[http://www.inst.eecs.berkeley.edu/~cs29459/fa10/resources/achronix/Speedster\\_Datasheet\\_DS001.pdf](http://www.inst.eecs.berkeley.edu/~cs29459/fa10/resources/achronix/Speedster_Datasheet_DS001.pdf)>. Acesso em 20 de julho de 2015.

BAUMANN, Damien; TINEMBART, Jacques. Designing Mathematical Morphology Algorithms on FPGAs: An Application to Image Processing. In: Computer Analysis of Images and Patterns. Springer Berlin Heidelberg, 2005. p. 562-569.

GENOVESE, Mariangela; NAPOLI, Ettore. FPGA-based architecture for real time segmentation and Denoising of HD video. Journal of Real-Time Image Processing, v. 8, n. 4, p. 389-401, 2013.

HENTATI, R.; HENTATI, M.; AOUDNI, Y.; ABID, M., "The implementation of basic morphological operations on FPGA using partial reconfiguration," in *Image Processing, Applications and Systems Conference (IPAS), 2014*, vol., no., pp.1-5, 5-7 Nov. 2014 doi: 10.1109/IPAS.2014.7043260

MATLAB version 7.10.0. Natick, Massachusetts: The MathWorks Inc., 2010.

OPENCV, OpenCV Documentation. Disponível em <<http://docs.opencv.org/>>, Acesso em 18 de dezembro de 2014.

SERRA, J., Image Analysis and Mathematical Morphology, Academic Press, 1982.

TICKLE, Andrew J. et al. Development and simulation of soft morphological operators for a field programmable gate array. Journal of Electronic Imaging, v. 22, n. 2, p. 023034-023034, 2013.